

ISSN 1684-579X

2015  
~7

# Матеріало Веденіє

Научно-технический журнал

71 2015



## ФИЗИЧЕСКИЕ ОСНОВЫ

УДК 519.68:004.93'1:546

# БАЗА ДАННЫХ ПО ШИРИНЕ ЗАПРЕЩЕННОЙ ЗОНЫ НЕОРГАНИЧЕСКИХ ВЕЩЕСТВ И МАТЕРИАЛОВ\*

**Н.Н. КИСЕЛЕВА, д-р хим. наук, В.А. ДУДАРЕВ, канд. техн. наук, М.А. КОРЖУЕВ, канд. физ.-мат. наук**

Федеральное государственное бюджетное учреждение науки Институт metallургии и материаловедения им. А.А. Байкова РАН (ИМЕТ РАН), г. Москва,  
e-mail: kis@imet.ac.ru

Разработана база данных (БД) по ширине запрещенной зоны неорганических веществ, доступная из сети Интернет: <http://bg.imet-db.ru> — и предназначена для информационного обслуживания специалистов в области неорганической химии и материаловедения. БД интегрирована с другими информационными системами по свойствам неорганических веществ и материалов, что обеспечивает поиск широкого набора параметров конкретного вещества. Рассмотрена возможность использования информации из разработанной БД для поиска взаимосвязей между шириной запрещенной зоны и параметрами термоэлектрических материалов, а также для прогнозирования ширины запрещенной зоны халькопиритов.

**Ключевые слова:** ширина запрещенной зоны, неорганические вещества, база данных, конструирование неорганических соединений, распознавание образов.

### Введение

**Ш**ирина запрещенной зоны  $E_g$  является фундаментальным параметром конденсированных фаз, который характеризует природу химической связи в образцах, устойчивость кристаллических структур, а также объясняет существенное различие физико-химических свойств веществ.

Несмотря на важность информации о ширине запрещенной зоны для теоретического и практического материаловедения и множество справочников в этой области, например, [1, 2], в настоящее время нет достаточно полной компьютерной базы данных (БД), позволяющей оперативно обеспечивать специалистов сведениями об этой характеристике твердых тел. Среди имеющихся информационных ресурсов можно указать БД AFLOWLIB.org, разработанную в Duke University (США) [3, 4], в которой расчетная информация о  $E_g$  включена как один из параметров материалов. На сайте ФТИ РАН приведены сведения о ширине запрещенной зоны химических элементов и соединений

$A^{III}B^V$  [5]. Однако компьютерной БД, включающей данные по  $E_g$  для широкого круга неорганических веществ и материалов, до настоящего времени создано не было.

В разработанной нами БД Bandgap, которая является частью интегрированной системы баз данных (ИСБД) по свойствам материалов для электроники ИМЕТ РАН [6, 7], содержится экспериментальная и расчетная информация о  $E_g$  тысяч неорганических веществ и материалов различного состава. Помимо Bandgap ИСБД объединяет БД по фазовым диаграммам полупроводниковых веществ «Диаграмма» [8], БД по свойствам акустооптических, электрооптических и нелинейно-оптических веществ «Кристалл» [9], а также БД по свойствам неорганических соединений «Фазы» [10], по свойствам химических элементов Elements и БД AtomWork по свойствам неорганических соединений, созданную в National Institute for Materials Science (Япония) [11].

Целью настоящей работы является описание структуры и режимов работы БД Bandgap. Приводятся примеры использования БД для поиска и анализа информации по свойствам неорганических веществ и материалов, а также для прогноза ширины запрещенной зоны неорганических соединений.

\* Работа выполнена при частичной финансовой поддержке РФФИ, проекты 12-07-00142, 14-07-00819, 14-07-31032 и 15-07-00980.

## Структура, программное обеспечение и режимы работы БД Bandgap

Величина ширины запрещенной зоны твердых тел определяется химическим составом вещества, кристаллической и дефектной структурой образца. Величина  $E_g$  зависит от температуры, давления, электрических, магнитных, гравитационных полей и других внешних параметров. Концептуальная структура БД Bandgap учитывает вышеуказанные наиболее важные особенности предметной области. В базе данных хранится информация о ширине запрещенной зоны основных классов неорганических веществ. БД содержит информацию о методах определения  $E_g$  (раздел «Комментарии») в разных температурных интервалах, химическом и фазовом составе, кристаллической структуре (сингонии, типе структуры, пространственной группе), ориентации образцов при измерениях. Основу БД составляют значения  $E_g$ , определенные различными экспериментальными методами (оптическими, теплофизическими и электрофизическими) при «нормальных» условиях измерений (комнатная температура, атмосферное давление, отсутствие внешних электрических и магнитных полей). Точность определения значений  $E_g$  экспериментальными методами составляет  $\delta E_g \sim 0,1$  эВ (иногда  $\sim 0,01$  эВ), что достаточно для детальной классификации соединений [12]. Для всех данных приведены ссылки на литературу\*. База данных включает графическую информацию о зонной структуре, зависимостях ширины запрещенной зоны от разных факторов и т.д. Приведены также и расчетные данные о величине  $E_g$ . В теоретических расчетах зонной структуры использованы результаты, полученные методами квантовой теории (линейной комбинации атомных орбиталей, ортогонализированных плоских волн, псевдопотенциала и др.) [13–16]. Точность теоретических расчетов  $E_g$  обычно не превышает  $\sim 0,5$  эВ.

В основу программного обеспечения положена реляционная БД под управлением Microsoft SQL Server 2008, разработанная в виде Web-приложения с использованием технологии Active Server Pages. Для доступа к данным используется интерфейс ActiveX Data Objects. В качестве Web-сервера используется Internet Information Server 7,0 на платформе Microsoft Windows Server 2008. Поиск информации в БД производится по запросу пользователя с помощью специально разработанного меню (рис. 1).

\* Полные тексты публикаций из-за лицензионных ограничений доступны только сотрудникам ИМЕТ РАН.

The screenshot shows a search interface for 'Bandgaps of Elements'. The search conditions include: 'Choose fixed compound' (Review all), 'Input elements composition' (Element 1: As, Element 2: Review all), 'Choose crystal system' (Cubic), 'Choose structure type' (ZnS), 'Choose space group' (F4-3m), 'Input temperature' (298 K), 'Input AE' (1 eV), and 'Search' button. Below the search conditions, it says '10 records were found:' followed by a table with columns: Compound, Modification, Crystal System, Structure Type, Space Group, Direction, Temperature, K, ΔE, eV, Comments, Reference. The table lists four entries: BAs, GeAs, GaAs, and SbAs, each with its respective properties.

| Compound | Modification | Crystal System | Structure Type | Space Group | Direction | Temperature, K | ΔE, eV | Comments          | Reference |
|----------|--------------|----------------|----------------|-------------|-----------|----------------|--------|-------------------|-----------|
| BAs      |              | ZnS            | F4-3m          |             |           | 300            | 1,46   | Optical           | 1         |
| GeAs     |              | ZnS            | F4-3m          |             |           | 298            | 1,42   | Direct transition | 58        |
| GaAs     |              | ZnS            | F4-3m          |             |           | 298            | 1,425  | Direct transition | 59        |
| SbAs     |              | ZnS            | F4-3m          |             |           | 298            | 1,428  | Direct transition | 60        |

Рис. 1. Меню для поиска информации в БД

Запрос может включать состав вещества, сингонию, тип кристаллической структуры, пространственную группу симметрии, интервал температур и величин  $E_g$ .

В настоящее время база данных содержит сведения об около 3 тыс. веществ (более 5,5 тыс. записей). Информация БД представлена на английском языке. Свободный доступ к информации БД Bandgap возможен из глобальной сети Интернет: <http://bg.imet-db.ru>. Для регистрации пользователи должны ввести сведения, касающиеся их профессиональных статуса и интересов, после чего они получают логин и пароль для входа в информационную систему.

Важно, что БД Bandgap интегрирована с другими информационными системами, т.е. пользователь может одновременно получить достаточно полную информацию о заданном веществе из разных БД, входящих в ИСБД ИМЕТ РАН: о фазовой диаграмме и кристаллической структуре из БД «Диаграмма» или AtomWork, акустооптических, электрооптических и нелинейно-оптических свойствах из БД «Кристалл» и т.д. (рис. 2). Интеграция БД значительно увеличивает их информационные возможности.

Базы данных используются не только для информационного обслуживания специалистов, но и являются источником данных для поиска взаимосвязей между параметрами веществ и других расчетов.

### Поиск взаимосвязей между шириной запрещенной зоны и параметрами термоэлектрических материалов

Термоэлектрические материалы (ТЭМ) ( $E_g = 0\text{--}1$  эВ) характеризуются термоэлектрической добротностью  $ZT = \alpha^2 \sigma T / \kappa$ , с которой связан КПД термоэлектрических преобразователей энергии, где  $\alpha$  — коэффициент Зеебека;  $\sigma$  и  $\kappa = \kappa_L + \kappa_e + \kappa_b$  — удельные электропровод-

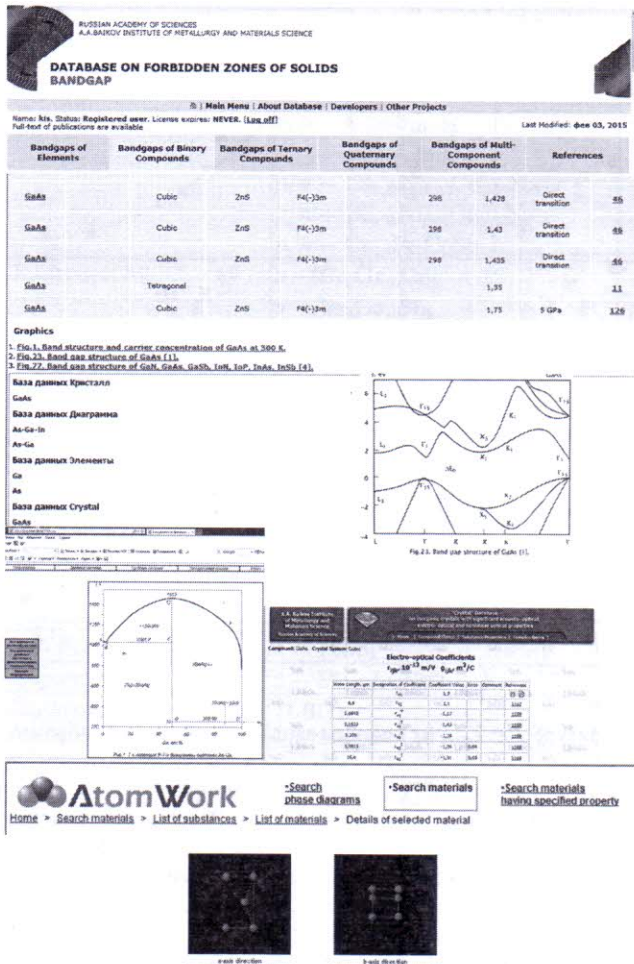


Рис. 2. Пример выдачи консолидированной информации о ширине запрещенной зоны и других свойствах соединения GaAs

ность и теплопроводность соответственно;  $\kappa_L$ ,  $\kappa_e$  и  $\kappa_b$  — «решеточная», «электронная» и биполярная составляющие теплопроводности соответственно;  $T$  — абсолютная температура [12]. Зависимости  $ZT$  ТЭМ имеют максимумы при температуре  $T_{max}$ , связанные с развитием в образцах собственной проводимости при увеличении температуры [12, 16, 17].

На рис. 3 показаны зависимости различных параметров ТЭМ от величины ширины запрещенной зоны. В результате анализа зависимости  $T_{max}$  от величины  $E_g$  для материалов  $n$ - и  $p$ -типов проводимости (см. рис. 3, а, кривые 5, 6) были определены оптимальные рабочие температуры, а также концентрации электронов  $n$ , дырок  $p$  и энергии Ферми  $E_F$  в зависимости от величины  $E_g$  образцов (см. рис. 3, б, кривые 7, 8) [19]. Нелинейный характер зависимостей  $T_{max} = f(E_g)$  (см. рис. 3, а, кривые 5, 6) был объяснен уменьшением подвижности  $\mu$  образцов для больших  $E_g$  ниже порогового значения  $\mu \sim 10 \text{ см}^2/(\text{В}\cdot\text{с})$

(см. рис. 3, в, кривая 9), разграничающего материалы с «зонной» ( $\lambda_e/a \gg 1$ ) и «скачковой» проводимостью ( $\lambda_e/a = 1$ ) (см. рис. 3, г, кривая 10), где  $\lambda_e$  — средняя длина свободного пробега электронов (дырок) в образцах,  $a = 0,3 \text{ нм}$  — кратчайшее межатомное расстояние. Была установлена также зависимость средней длины свободного пробега фононов  $\lambda_{ph}/a$  от величины  $E_g(T = T_{max})$  (см. рис. 3, д, кривая 11), в результате чего появилась возможность прогнозировать по формуле  $(ZT)_{NC} = (ZT)_{\text{крис}} \cdot (\lambda_{ph}/a)$  увеличение  $ZT$  образцов при ихnanoструктурировании (см. рис. 3, е, кривая 13) [19, 20]. Согласно оценкам (см. рис. 3, е, кривая 13), nanoструктурирование может быть эффективным только для низкотемпературных ТЭМ ( $E_g \ll 0,8 \text{ эВ}$ ) (увеличение  $(ZT)_{max}$  в  $\sim 3$  раза) (см. рис. 3, е, стрелка). Для высокотемпературных ТЭМ ( $E_g > 0,8 \text{ эВ}$ ) nanoструктурирование оказывается существенно менее эффективным (см. рис. 3, е, кривая 13), что подтверждается соответствующими экспериментальными данными (точки 12), полученными рядом исследователей [17, 21].

Полученные кривые (см. рис. 3) позволяют производить прогноз неизвестной величины  $E_g$  для ТЭМ по известной величине  $T_{max}$  (табл. 1). В табл. 1 приведены соответствующие оценки  $E_g$  для ряда ТЭМ с повышенными значениями  $ZT$ , разработанных исследователями в последние годы [17]. При оценках  $E_g$  сплавов с  $n$ - и  $p$ -типами проводимости использовались кривые 5 и 6 (см. рис. 3), в случае отсутствия точных данных о типе проводимости образцов — соответствующие зависимости (кривые 5 и 6) усреднялись. Знаки ( $>$ ) и ( $\geq$ ), приведенные в табл. 1, соответствуют случаям, когда область  $T_{max}$  на температурных зависимостях  $ZT$  не была достигнута вообще, либо исследователи приблизились к этой области достаточно близко [17].

### Компьютерное конструирование широкозонных полупроводников со структурой халькопирита

Информация БД Bandgap была использована нами для оценки ширины запрещенной зоны соединений с кристаллической структурой халькопирита [22, 23], что было связано с поиском новых широкозонных полупроводников для оптоэлектронных устройств [24]. Широкозонными принято считать полупроводники, у которых энергия межзонных электронных переходов превосходит значение, близкое к 2 эВ [25].

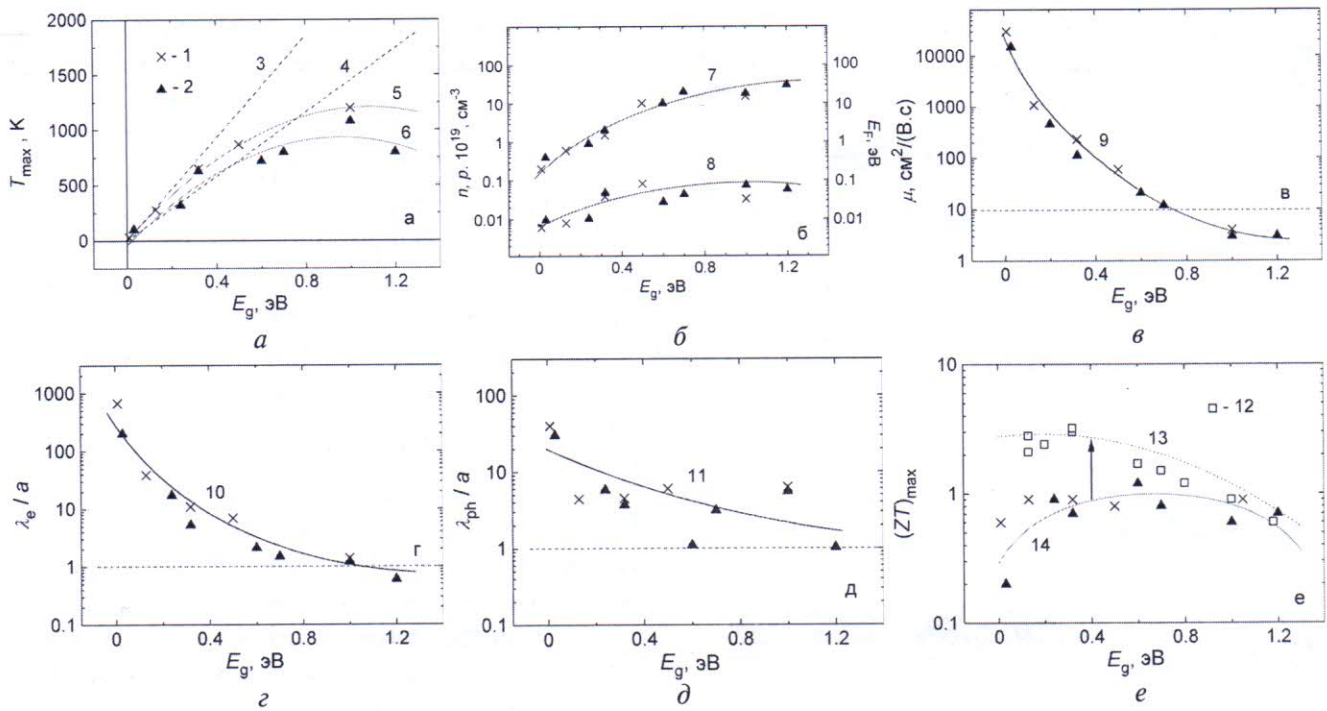


Рис. 3. Зависимости различных параметров ТЭМ, взятых при температуре  $T = T_{\max}$ , от ширины запрещенной зоны  $E_g$  образцов (а–е):

а —  $T_{\max}$  (3–6); б —  $n(p)$  (7) и  $E_F$  (8); в —  $\mu$  (9); г —  $\lambda_e/a$  (10); д —  $\lambda_{ph}/a$  (11); е —  $(ZT)_{\max}$  (12, 13, 14). (Образцы: 3–11, 14 — кристаллы; 12, 13 — наноструктуры. Данные: 5–9, 10, 11, 12, 14 — эксперимент; 3, 4, 13 — расчет. Расчетные формулы: 3, 4 —  $E_g = b k_0 T$  (3 —  $b = 5$ ; 4 —  $b = 10$ ;  $k_0 = 1,38 \cdot 10^{-23}$  Дж/К — постоянная Больцмана); 13 —  $y = (ZT_{\max}) \cdot (\lambda_{ph}/a)$ . Материалы (в порядке роста  $E_g$ ):  $n$ -тип — BiSb, Bi<sub>2</sub>Te<sub>3</sub>, PbTe, CoSb<sub>3</sub>, SiGe (точки 1);  $p$ -тип: BiSb<Sn>, Sb<sub>2</sub>Te<sub>3</sub>, PbTe, TAGS, GeTe, SiGe, Cu<sub>1,99</sub>Se (точки 2) [19, 21])

Была решена задача конструирования новых халькопиритов состава  $ABX_2$  (A и B — различные химические элементы; X — S, Se, Te, N, P, As или Sb) с шириной запрещенной зоны свыше 2 эВ при нормальных условиях. Для проведения расчетов была использована разработанная нами информационно-аналитическая система (ИАС) для компьютерного конструирования неорганических соединений [23], включающая базы данных по свойствам неорганических веществ и подсистему анализа информации, основанную на использовании методов распознавания образов по прецедентам. Процедура подобных расчетов подробно описана в [23, 26, 27].

Результатом компьютерного анализа был набор критериев, имеющих вид различных формализмов искусственного интеллекта (нейронных или растущих пирамидальных сетей, логических выражений и т.п.), использование которых позволяло оценить, относятся ли соединения состава  $ABX_2$  со структурой халькопирита к широкозонным полупроводникам (т.е. имеют при обычных условиях  $E_g > 2$  эВ) или нет [22, 23]. Исходя из физико-химических представлений, в критерий были

включены следующие параметры элементов A, B и X:

- функция  $\Delta\chi = |\chi_X - \chi_A - \chi_B|$ , где  $\chi_i$  — электроотрицательности по Мартынову—Бацанову;
- валентности  $Z_A$ ,  $Z_B$ ,  $Z_X$  (для переходных металлов — номер группы);
- среднее число валентных электронов:  $n = (n_A + n_B + 2n_X)/4$ ;
- электроотрицательность по шкале Петтифора [28];
- функция  $(I_z/Z)_A = \{6 + 0,1(I_z/Z)_C\}$ , где  $I_z$  — последний потенциал ионизации.

В табл. 2 приведены результаты применения полученных критериев для оценки ширины запрещенной зоны для халькопиритов, информация о которых была использована при компьютерном анализе экспериментальных данных из БД Bandgap. Было отмечено согласие экспериментальных и прогнозируемых значений  $E_g$  (см. табл. 2), что подтверждало обоснованность применяемых компьютерных методов. С помощью найденных критериев была оценена  $E_g$  халькопиритов (табл. 3), для которых в БД Bandgap не было соответствующей информации. Согласно нашим прогнозам, халькопириты  $ZnAlS_2$  и  $ZnAlSe_2$  от-

**1. Оценки неизвестной величины  $E_g$  ТЭМ по известной температуре  $T_{\max}$** 

| Класс материала                | Тип проводимости и состав образца  | $(ZT)_{\max}$ | $T_{\max}, \text{K}$ | Оценка $E_g, \text{эВ}$ |
|--------------------------------|--|---------------|----------------------|-------------------------|
| Скоттерудиты                   | $p, n - \text{Co}_4\text{Sb}_{12}$   | 0,2           | 480                  | 0,3                     |
|                                | $p, n - \text{Yb}_{0,19}\text{Co}_4\text{Sb}_{12}$   | 1,2           | > 680                | > 0,4                   |
|                                | $p, n - \text{Ca}_{0,18}\text{Ni}_{0,03}\text{Co}_{3,97}\text{Sb}_{12,4}$                          | 1,0           | > 800                | > 0,5 <sub>5</sub>      |
|                                | $p, n - \text{Ba}_{0,30}\text{Ni}_{0,05}\text{Co}_{3,95}\text{Sb}_{12}$                            | 1,3           | ≥ 920                | ≥ 0,7                   |
|                                | $p, n - \text{Ce}_{0,9}\text{Fe}_3\text{CoSb}_{12}$  | 1,1           | > 760                | > 0,4 <sub>5</sub>      |
| Клатраты                       | $n - \text{Ba}_8\text{Ga}_{16}\text{Ge}_{30}$  | 1,4           | > 800                | > 0,5                   |
|                                | $n - \text{Ba}_8\text{Ga}_{16}\text{Si}_{30}$  | 0,87          | > 900                | > 0,6                   |
|                                | $\text{Ba}_8\text{Ga}_{16}\text{Ge}_{30}$  | 0,7           | ≥ 800                | ≥ 0,5                   |
| Фазы Гейслера                  | $p - \text{TiNiSn}$  | 0,45          | 650                  | 0,4 <sub>5</sub>        |
|                                | $n - \text{Zr}_{0,25}\text{Hf}_{0,25}\text{Ti}_{0,5}\text{NiSn}_{1-y}\text{Sb}_y$                  | 1,4           | 700                  | 0,4                     |
|                                | $n - \text{Zr}_{0,5}\text{Hf}_{0,5}\text{Ni}_{0,8}\text{Pd}_{0,2}\text{Sn}_{0,99}\text{Sb}_{0,01}$ | 0,7           | 800                  | 0,4 <sub>5</sub>        |
|                                | $\text{Hf}_{0,75}\text{Zr}_{0,25}\text{NiSn}_{0,975}\text{Sb}_{0,025}$                             | 0,81          | 1025                 | 1,0                     |
| Фазы Цинтля                    | $p - \text{Yb}_{14}\text{MnSb}_{11}$   | 1,0           | 1200                 | 1,0                     |
| Тип $\text{Zn}_4\text{Sb}_3$   | $p - \text{Zn}_4\text{Sb}_3$   | 1,3           | 670                  | 0,5                     |
| Оксиды металлов                | $p - \text{NaCo}_2\text{O}_4$  | 0,8           | ≥ 1000               | ≥ 1,1                   |
|                                | $p - \text{Ca}_3\text{Co}_4\text{O}_9$   | 1,0           | > 950                | > 0,9                   |
|                                | $n - (\text{ZnO})_3(\text{In}_2\text{O}_3) < \text{Ca} >$  | 0,31          | > 1053               | > 1,1                   |
| Тип $\text{FeSb}_2$            | $n - \text{FeSb}_2$  | 0,005         | 12                   | ~ 0                     |
| Перовскиты                     | $n - \text{SrTiO}_3 < \text{Nb} >$   | 0,37          | 1000                 | 1,1                     |
| Халькогениды таллия            | $\text{Tl}_9\text{BiTe}_6$   | 1,2           | 500                  | 0,3                     |
|                                | $\text{Ag}_9\text{TlTe}_5$   | 1,23          | > 700                | > 0,4                   |
|                                | $p - \text{TlIn}_{0,94}\text{Yb}_{0,06}\text{Te}_2$  | 1,8           | 700                  | 0,5                     |
| Халькогениды щелочных металлов | $p, n - \text{CsBi}_4\text{Te}_6$  | 0,8           | 225                  | 0,15                    |
|                                | $n - \text{K}_2\text{Bi}_8\text{Se}_{13}$  | 0,2           | 300                  | 0,2                     |
|                                | $p, n - \text{K}_2\text{Bi}_{8-x}\text{Sb}_x\text{Se}_{13}$  | 1,0           | ≥ 800                | ≥ 0,4 <sub>5</sub>      |
| LAST-m                         | $p - \text{AgPb}_m\text{SbTe}_{m+2}, (m = 18-22)$  | 1,7           | 700                  | 0,5                     |
| LASTT                          | $p - \text{AgPb}_m\text{Sn}_n\text{Te}_{m+n+2}$  | 1,4           | 700                  | 0,5                     |
| SOLT-m                         | $\text{NaPb}_m\text{Sb}_n\text{Te}_{m+2}, (m = 20)$  | 1,6           | 675                  | 0,5                     |

**2. Сравнение прогнозов  $E_g$  с экспериментальными данными для изученных халькогидров**

| Соединение        | $E_{g\text{эксп.}}, \text{эВ}$ | Прогноз | Соединение        | $E_{g\text{эксп.}}, \text{эВ}$ | Прогноз |
|-------------------|--------------------------------|---------|-------------------|--------------------------------|---------|
| $\text{CuAlS}_2$  | 3,5                            | > 2 эВ  | $\text{ZnGeAs}_2$ | 1,16                           | < 2 эВ  |
| $\text{CuGaS}_2$  | 2,44                           | > 2 эВ  | $\text{ZnSnP}_2$  | 1,45                           | < 2 эВ  |
| $\text{CuInS}_2$  | 1,5                            | < 2 эВ  | $\text{ZnSnAs}_2$ | 0,74                           | < 2 эВ  |
| $\text{CuAlSe}_2$ | 2,67                           | > 2 эВ  | $\text{ZnSnSb}_2$ | 0,4                            | < 2 эВ  |
| $\text{CuGaSe}_2$ | 1,63                           | < 2 эВ  | $\text{CdSiP}_2$  | 2,2                            | > 2 эВ  |
| $\text{CuInSe}_2$ | 0,95                           | < 2 эВ  | $\text{CdGeP}_2$  | 1,8                            | < 2 эВ  |
| $\text{CuAlTe}_2$ | 2,06                           | > 2 эВ  | $\text{CdGeAs}_2$ | 0,53                           | < 2 эВ  |
| $\text{CuGaTe}_2$ | 1,18                           | < 2 эВ  | $\text{CdSnP}_2$  | 1,16                           | < 2 эВ  |
| $\text{CuInTe}_2$ | 0,88                           | < 2 эВ  | $\text{CdSnAs}_2$ | 0,3                            | < 2 эВ  |
| $\text{AgAlS}_2$  | 3,13                           | > 2 эВ  | $\text{AgInS}_2$  | 1,9                            | < 2 эВ  |
| $\text{AgGaS}_2$  | 2,75                           | > 2 эВ  | $\text{CdSiAs}_2$ | 1,51                           | < 2 эВ  |
| $\text{AgAlSe}_2$ | 2,55                           | > 2 эВ  | $\text{CuFeS}_2$  | 0,53                           | < 2 эВ  |
| $\text{AgGaSe}_2$ | 1,65                           | < 2 эВ  | $\text{CuFeSe}_2$ | 0,16                           | < 2 эВ  |
| $\text{AgInSe}_2$ | 1,24                           | < 2 эВ  | $\text{CuFeTe}_2$ | 0,1                            | < 2 эВ  |
| $\text{AgAlTe}_2$ | 1,8                            | < 2 эВ  | $\text{LiGaTe}_2$ | 2,31                           | > 2 эВ  |
| $\text{AgGaTe}_2$ | 1,1                            | < 2 эВ  | $\text{LiInTe}_2$ | 1,46                           | < 2 эВ  |
| $\text{AgInTe}_2$ | 0,96                           | < 2 эВ  | $\text{AgFeSe}_2$ | 0,23                           | < 2 эВ  |
| $\text{ZnSiP}_2$  | 2,07                           | > 2 эВ  | $\text{MgSiP}_2$  | 2,35                           | > 2 эВ  |
| $\text{ZnSiAs}_2$ | 2,1                            | > 2 эВ  | $\text{MnGeP}_2$  | 0,24                           | < 2 эВ  |
| $\text{ZnGeN}_2$  | 2,9                            | > 2 эВ  | $\text{MnGeAs}_2$ | 0,6                            | < 2 эВ  |
| $\text{ZnGeP}_2$  | 2,1                            | > 2 эВ  |                   |                                |         |

**3. Прогноз  $E_g$  для халькогидров, информация о которых не использована в компьютерном анализе**

| Соединение        | Прогноз $E_g$ |
|-------------------|---------------|
| $\text{ZnAlS}_2$  | > 2 эВ        |
| $\text{ZnAlSe}_2$ | > 2 эВ        |
| $\text{ZnAlTe}_2$ | < 2 эВ        |
| $\text{AgFeS}_2$  | < 2 эВ        |
| $\text{AgFeTe}_2$ | < 2 эВ        |
| $\text{ZnGaTe}_2$ | < 2 эВ        |
| $\text{CdGaTe}_2$ | < 2 эВ        |
| $\text{HgGaTe}_2$ | < 2 эВ        |

носятся к широкозонным полупроводникам, перспективным для оптоэлектронных приложений.

**Выводы**

1. Разработана специализированная база данных Bandgap по ширине запрещенной зоны, содержащая более 5,5 тыс. записей об около 3 тыс. неорганических веществ и материалах.

2. БД Bandgap доступна из сети Интернет (<http://bg.imet-db.ru>) и интегрирована с другими

ми информационными системами по свойствам неорганических материалов, что существенно расширяет ее возможности поиска информации о конкретном веществе.

3. Приведены примеры использования БД Bandgap при анализе информации о термоэлектрических материалах.

4. На примере полупроводников со структурой халькопирита показана возможность использования информации БД для компьютерного прогноза «из первых принципов» неизвестной величины  $E_g$ .

## СПИСОК ЛИТЕРАТУРЫ

1. Физико-химические свойства полупроводниковых веществ. Справочник/Под ред. А.В. Новоселовой. М.: Наука, 1979. 340 с.
2. Электронный справочник по свойствам материалов Springer Materials: [http://www.springermaterials.com/docs/index.html#n\\_43454\\_Semi-conductivity](http://www.springermaterials.com/docs/index.html#n_43454_Semi-conductivity).
3. Curtarolo S., Setyawan W., Wang S., Xue J., Yang K., Taylor R.H., Nelson L.J., Hart G.L. W., Sanvito S., Buongiorno-Nardelli M., Mingo N., Levy O. AFLOWLIB. ORG: A distributed materials properties repository from high-throughput ab initio calculations // Comp. Mat. Sci. 2012. V. 58. P. 227–235.
4. Taylor R.H., Rose F., Toher C., Levy O., Yang K., Buongiorno-Nardelli M., Curtarolo S. A RESTful API for exchanging materials data in the AFLOWLIB.org consortium // Comp. Mat. Sci. 2014. V. 93. P. 178–192.
5. Электронная база данных по свойствам полупроводниковых материалов: <http://www.matprop.ru/>.
6. Киселева Н.Н., Дударев В.А., Земсков В.С. Компьютерные информационные ресурсы неорганической химии и материаловедения // Успехи химии. 2010. Т. 79. № 2. С. 162–188.
7. Киселева Н.Н., Прокошев И.В., Дударев В.А., Хорбенко В.В., Белокурова И.Н., Подбельский В.В., Земсков В.С. Система баз данных по материалам для электроники в сети Интернет // Неорганические материалы. 2004. Т. 42. № 3. С. 380–384.
8. Христофоров Ю.И., Хорбенко В.В., Киселева Н.Н., Подбельский В.В., Белокурова И.Н., Земсков В.С. База данных по фазовым диаграммам полупроводниковых систем с доступом из Интернет // Изв. ВУЗов. Материалы электронной техники. 2001. № 4. С. 50–55.
9. Юдина Н.В., Петухов В.В., Черемушкин Е.А., Киселева Н.Н., Земсков В.С. Банк данных по свойствам акустооптических, электрооптических и нелинейнооптических веществ // Кристаллография. 1996. Т. 41. № 2. С. 490–495.
10. Киселева Н., Мурат Д., Столяренко А., Дударев В.А., Подбельский В.В., Земсков В.С. База данных по свойствам тройных неорганических соединений «Фазы» в сети Интернет // Информационные ресурсы России. 2006. № 4. С. 21–23.
11. Xu Y., Yamazaki M., Villars P. Inorganic Materials Database for Exploring the Nature of Material // Jap. J. Appl. Phys. 2011. V. 50. No. 11. P. 11RH02-1–11RH02-5.
12. Горелик С.С., Дащевский М.Я. Материаловедение полупроводников и металловедение. М: Металлургия, 1973. 496 с.
13. Kohl W., Sham L.J. Self-consistent equations including exchange and correlation effects // Phys. Rev. A. 1965. V. 140. No. 4. P. A1133–A1138.
14. Dreizler R., Gross E. Density Functional Theory. N.Y.: Plenum Press, 1995. 377 p.
15. Yu P., Cardona M. Fundamentals of semiconductors: physics and materials properties. London: Springer, 2009. 775 p.
16. Hybertsen M.S., Louie S.G. First-principles theory of quasiparticles: calculation of band gaps in semiconductors and insulators // Phys. Rev. Lett. 1985. V. 55. No. 13. P. 1418–1421.
17. Sootsman J.R., Xhung D.Y., Kanatzidis M.G. New and old concepts in thermoelectric materials // Angew. Chem. Int. Ed. 2009. V. 47. P. 8616–8639.
18. Korzhuev M.A., Svechnikova T.E. Thermodynamic restrictions for useful power of the automotive thermoelectric generators and prospects of their use in transport // J. Thermoelectricity. 2013. No 3. С. 54–70.
19. Korzhuev M.A., Katin I.V. Nano-like effects in crystalline thermoelectric materials at high temperatures // Proc. Int. Conf.: Nanomeeting—2013. Physics, chemistry and application of nanostructures. Ed. V.E. Borisenko. New Jersey, London, Singapore: Word Scientific, 2013. P. 569–572.
20. Коржев М.А. Влияние средней длины свободного пробега фононов и электронов на параметры добротности  $Z$  и мощности  $W$  термоэлектрическихnanoструктур. В сб.: Термоэлектрики и их применения / Под ред. М. И. Федорова, Л. Н. Лукьяновой. СПб.: ПИЯФ, 2013. С. 99–104.
21. Korzhuev M.A. Thermoelectric nanostructures: pros and cons // Thermoelectricity. 2013. No 5. С. 10–21.
22. Kiselyova N.N., Stolyarenko A.V., Gu T., Lu W. Computer-aided design of new wide bandgap semiconductors with chalcopyrite structure // Перспективные материалы. 2007. Спецвыпуск: Сб. тр. IX Российско-Китайского Симпозиума «Новые материалы и технологии». С. 351–355.
23. Kiselyova N., Stolyarenko A., Ryazanov V., Sen'ko O., Dokukin A. Application of Machine Training Methods to Design of New Inorganic Compounds // In: Diagnostic Test Approaches to Machine Learning and Commonsense Reasoning Systems. Ed. By X.A. Naidenova & D.I. Ignatov. Hershey: IGI Global, 2012. P. 197–220.
24. Siebentritt S., Rau U. Wide gap chalcopyrites. Heidelberg-Berlin: Springer, 2006. 257 p.
25. Вавилов В.С. Особенности физики широкозонных полупроводников и их практических применений // Успехи физ. наук. 1994. Т. 164. № 3. С. 287–296.
26. Kiselyova N.N., Podbel'skii V. V., Ryazanov V.V., Stolyarenko A.V. // Inorganic Materials: Applied Research. 2010. V. 1. No 1. P. 9–16.
27. Киселева Н.Н., Столяренко А.В., Сенько О.В., Рязанов В.В., Докукин А.А. Прогнозирование новых неорганических соединений состава ABX ( $X = \text{As}, \text{Sn}, \text{Sb}, \text{Pb}$  или  $\text{Bi}$ ) // Материаловедение. 2012. № 6. С. 36–45.
28. Pettifor D.G. A chemical scale for crystal-structure maps // Solid State Commun. 1984. V. 51. No 1. P. 31–34.